

講義ノート第 10 回

2 定常電流と静磁場

2.5 Ampère の法則

Ampère の法則 (微分形)

$$\text{rot}\mathbf{B} = \mu_0 \mathbf{i} \quad (1)$$

Ampère の法則の積分形を導出したい.

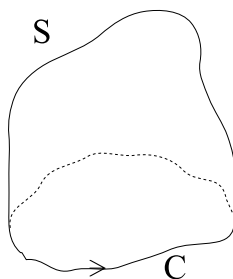


図 1

C 上に沿って右ねじを巻いたときに進む方向に裏 \rightarrow 表を定める.(面積の正負を定める.) 有向ループをふちにもつ任意の曲面 S にわたる式 (1) の面積分を考える.

$$\begin{aligned} \int_S \text{rot}\mathbf{B} \cdot d\mathbf{S} &= \mu_0 \int_S = \mu_0 (\text{S を貫く全電流}) \\ &= \mu_0 (\text{C を貫く全電流}) \end{aligned}$$

また Stokes の定理より,

$$\int_S \text{rot}\mathbf{B} \cdot d\mathbf{S} = \int_C \mathbf{B} \cdot d\mathbf{l}$$

注

$$\begin{aligned} \int_{S_1} \mathbf{i} \cdot d\mathbf{S} &= \int_{S_2} \mathbf{i} \cdot d\mathbf{S} \\ \int_{S_1} \mathbf{i} \cdot d\mathbf{S} - \int_{S_2} \mathbf{i} \cdot d\mathbf{S} &= \int_V \text{div}\mathbf{i} dV = 0 \end{aligned}$$

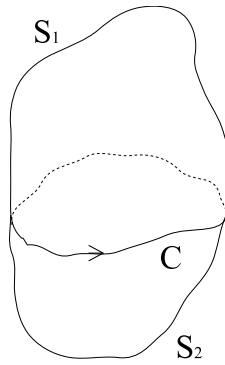


図 2

Ampère の法則 (積分形)

$$\int_C \mathbf{B} \cdot d\mathbf{l} = \mu_0 (\text{C を貫く全電流}) \quad (2)$$

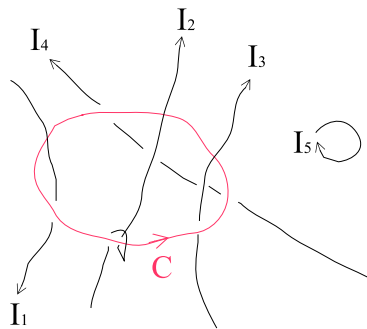


図 3

例

図 3 では,

$$\mu_0 (\text{C を貫く全電流}) = \mu_0 (-I_1 + 2I_2 + I_3)$$

例 1: 円電流

$$B \cdot 2\pi r = \mu_0 I$$

$$B = \frac{\mu_0 I}{2\pi r}$$

例 2: ソレノイド

$$C' : lB'_1 - lB'_2 = \mu_0 \cdot 0$$

$$B'_1 = B'_2 = B'$$

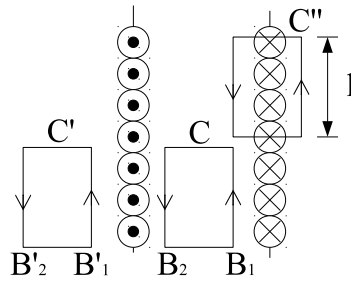


図 4

したがってソレノイドの外部で磁束密度は一様である。
同様に

$$\begin{aligned} C : lB_1 - lB_2 &= \mu_0 \cdot 0 \\ B_1 &= B_2 = B \end{aligned}$$

したがってソレノイドの内部でも磁束密度は一様である。

$$C'' : lB' - lB = -\mu_0 l n I$$

$B = \mu_0 n I$ であることは以前導いたから, $B' = 0$ となる。つまりソレノイドの外部では磁束密度は 0 である。

2.6 ループ電流と等価磁気双極子層

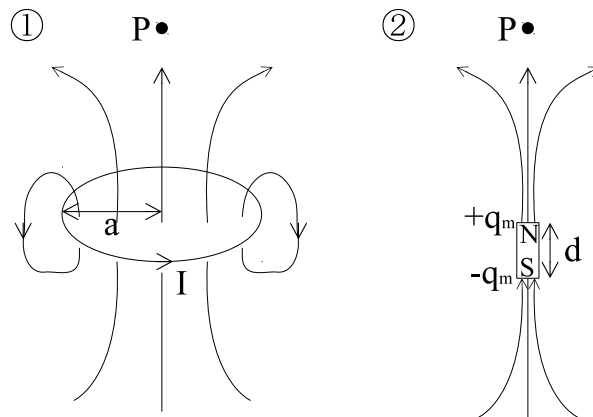


図 5

仮想的磁荷 $\pm q_m [Wb] = [JA^{-1}]$ を考えることで, 円電流によって生じる磁場と類似した Coulomb 的磁場をつくることができる。その磁束密度の大きさは $|\mathbf{B}| = \frac{q_m}{4\pi r^2}$

実はこの 2 つの磁場は, $a \rightarrow 0, I \rightarrow \infty, q_m \rightarrow \infty, d \rightarrow 0$ の極限で一致する。またこのとき, $\mu_0 \pi a^2 I$ と $q_m d$ は同じ極限值 m をとる。

図の点 P で $\mathbf{B} = (0, 0, B_z)$ とすると,

①

$a \rightarrow 0, I \rightarrow \infty$ の極限で

$$B_z = \frac{\mu_0 I a^2}{2(z^2 + a^2)^{\frac{3}{2}}} \rightarrow \frac{m}{2\pi z^3}$$

②

$$B_z = \frac{q_m}{4\pi} \left(\frac{1}{(z - \frac{d}{2})^2} - \frac{1}{(z + \frac{d}{2})^2} \right)$$

$f(z) = \frac{1}{z^2}$ とすると

$$\begin{aligned} B_z &= \frac{q_m}{4\pi} \left(f(z - \frac{d}{2}) - f(z + \frac{d}{2}) \right) \\ &= -\frac{q_m d}{4\pi} \left(\frac{f(z + \frac{d}{2}) - f(z - \frac{d}{2})}{d} \right) \end{aligned}$$

$q_m \rightarrow \infty, d \rightarrow 0$ の極限で

$$B_z \rightarrow -\frac{md}{4\pi} f'(z) = \frac{m}{2\pi z^3}$$

確かに一致する.

一般に, ループ C に沿う電流による \mathbf{B} は, C を境界にもつ磁気双極子の層をなす \mathbf{B} と等しい. これを, 等価磁気双極子層という.

2.7 Lorentz 力

— Lorentz 力 —

$$\mathbf{F} = q(\mathbf{E} + \mathbf{v} \times \mathbf{B}) \quad (3)$$

両辺に速度 \mathbf{v} を掛けると

$$\mathbf{F} \cdot \mathbf{v} = q(\mathbf{E} \cdot \mathbf{v} + 0)$$

つまり \mathbf{B} は仕事をしないことが分かる.

電流素片に働く力

電流素片がもつ電荷 $dq = \rho S |d\mathbf{l}|$

$$\begin{aligned} d\mathbf{F} &= dq \mathbf{v} \times \mathbf{B} \\ &= \rho S |d\mathbf{l}| \mathbf{v} \times \mathbf{B} \\ &= \rho S |\mathbf{v}| d\mathbf{l} \times \mathbf{B} \end{aligned}$$

ここで $S|\mathbf{v}|d\mathbf{l}$ の単位に注目すると,

$$Cm^{-3} \cdot m^2 \cdot ms^{-1} = A$$

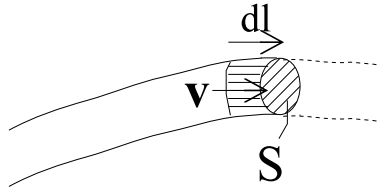


図 6

したがって $S|\mathbf{v}|d\mathbf{l}$ は電流 I を表す.

$$d\mathbf{F} = I d\mathbf{l} \times \mathbf{B}$$

電流, 磁場, Lorentz 力の方向の関係は, 必要とあらば左手で確認できる. (Fleming の左手の法則) さて今ここで電流の単位アンペアを定義する.

そのために, 平行に並んだ電線を同じ方向に流れる電流を考える.

線電流 I_1 が距離 d 離れた場所に作り出す磁場は, $B_1 = \frac{\mu_0 I_1}{2\pi d}$ である. そしてその磁場によって I_2 の長さ Δl の部分が受ける Lorentz 力の大きさは, $F = I_2 \Delta l B_1 = \Delta l \frac{\mu_0 I_1 I_2}{2\pi d}$ である.

この状態で $I_1 = I_2, d = 1\text{m}$ としたときに電線 1m あたりに及ぼしあう Lorentz 力が $2 \times 10^{-7}\text{N}$ となるときの電流の値を 1A と定義する.

するとそこから $\frac{\mu_0}{4\pi} = 10^{-7}\text{NA}^{-2}$ が定まることになる.

例: 一様な磁場中の荷電粒子の運動

運動方程式は

$$m \frac{d\mathbf{v}}{dt} = q\mathbf{v} \times \mathbf{B}$$

だから,

$$\begin{aligned} m \frac{dv_x}{dt} &= qv_y B \\ m \frac{dv_y}{dt} &= -qv_x B \\ m \frac{dv_z}{dt} &= 0 \end{aligned}$$

したがって $v_z = \text{一定}$ であり, x, y 成分については, サイクロトロン振動数 $\omega = \frac{qB}{m}$ とすることにより,

$$\begin{aligned} \ddot{v}_x &= -\omega^2 v_x \\ \ddot{v}_y &= -\omega^2 v_y \end{aligned}$$